

کردیبریت با ساختار ماکل چرخشی شعاعی شش‌تایی در شیستهای نئوپروتروزوئیک بالایی - کامبرین پایینی در جنوب‌غربی زنجان، شمال غرب ایران

اکرم اشرفی، جواد ایزدیار^{*}، نازیلا نصیحت‌شنو

گروه زمین‌شناسی، دانشکده علوم، دانشگاه زنجان

(دریافت مقاله: ۹۳/۳/۲۵، نسخه نهایی: ۹۳/۵/۲۶)

چکیده: در جنوب‌غربی زنجان، مجموعه‌ای از سنگ‌های دگرگونی شامل کلریت‌شیست و میکاشیست با میان‌لایه‌هایی از کوارتز‌شیست و کوارترزیت با سن نئوپروتروزوئیک بالایی - کامبرین پایینی رخنمون دارند. نفوذ توده‌ی مونزوگرانیتی خرم‌درق با سن ترشیاری درون شیسته‌ای موجب تشکیل سنگ‌های دگرگون شش‌وجهی کردیبریت با ماکل‌های سیاه چرخشی شعاعی شش‌تایی شده است. کردیبریت‌های شش‌وجهی از شش بخش یا سه زوج بخش نوری تشکیل شده‌اند. در بررسی‌های سنگ‌نگاشتی با قطبش‌های عمود برهم، تمام بخش‌ها ناهمسانگرد بوده و ویژگی‌های نوری آن‌ها از قبیل موقعیت خاموشی و سمتگیری‌های نوری نسبت به مرز بین ماکل‌های تقریباً متقاض است. این ساختار می‌تواند براساس برش عمود بر محور درجه‌ی شش چرخشی روی محور Z بلورشناسی در یک بلور شش‌گوش دو هرمی تفسیر شود که در آن سطوح با شاخص‌های میلری $(\bar{1}100), (\bar{1}010), (01\bar{1}0)$ و $(1\bar{1}00), (\bar{1}100), (0\bar{1}10)$ دارای مشخصات نوری یکسانی هستند. عدم وجود ساختار ماکل نوری درون‌بخشی، و نیز مرز صاف بین بخش‌های ماکلی نشانگر این است که این ساختار در اثر رشد کردیبریت راست‌گوشی در دمای پایین، روی سطوح منشوری ایندیالیت شش‌گوشی اولیه ایجاد شده است.

واژه‌های کلیدی: شیستهای نئوپروتروزوئیک بالایی - کامبرین پایینی؛ زنجان؛ ایندیالیت؛ کردیبریت؛ ماکل چرخشی شعاعی.

گوشه، این حلقه‌های شش‌تایی از طریق چهاروجهی‌های اضافی (Al, Si) به یکدیگر وصل می‌شوند و موجب تشکیل یک ساختار شبکه‌ای محکم می‌شود. درون این ساختار شبکه‌ای، فضاهای خالی هشت‌وجهی ایجاد می‌شود که بهوسیله‌ی کاتیون‌های Mg, Fe و مقادیر کمی Mn پر می‌شوند. مولکول‌های آب و یون‌های قلیایی (معمولأً سدیم و پتاسیم) در کانال‌های ایجاد شده بهوسیله‌ی حلقه‌های شش‌تایی به موازات محور C بلورشناسی در ساختار کردیبریت‌ها وجود دارند [۲]. ایندیالیت به‌شكل گروه فضایی P6/mcc است که در آن توزیع منظم Si و Al در موقعیت چهاروجهی رخ نمی‌دهد در حالی که

مقدمه

کائی کردیبریت به فراوانی در سنگ‌های دگرگون مجاورتی و ناحیه‌ای با درجه‌ی بالا تشکیل می‌شود. فرمول عمومی کردیبریت $\text{Al}_4\text{Si}_5\text{O}_{18}(\text{Mg}, \text{Fe}, \text{Mn})_2, n\text{H}_2\text{O}$ بوده و دارای دو چندربختی شناخته شده است. شکل با دمای بالای آن دارای ساختاری شش‌گوش است و به نام ایندیالیت معروف است در حالی که شکل با دمای پایین آن دارای ساختار بلوری راست‌گوش است که بسیار فراوان‌تر از ایندیالیت در طبیعت دیده می‌شود [۳-۱]. هر دو ساختار دارای حلقه‌های شش‌تایی از چهاروجهی‌های $(\text{Si}, \text{Al})\text{O}_4$ هستند و از این‌رو در گروه سیلیکات‌های حلقوی رده‌بندی می‌شوند، اما در ساختار راست-

*نویسنده مسئول، تلفن - نمابر: ۰۴۱۵۰۴۰۳۰، پست الکترونیکی: izadyar@znu.ac.ir

جنوب غربی زنجان برای نخستین بار کردیریت با ساختار ماکل چرخشی شش تایی مشاهده شد. این یافته موجب شد تا بررسی دقیقی در مورد ویژگی های نوری، ترکیب کانی ها و چگونگی تشکیل آن ها انجام شود که نتایج آن در این مقاله ارائه می شوند.

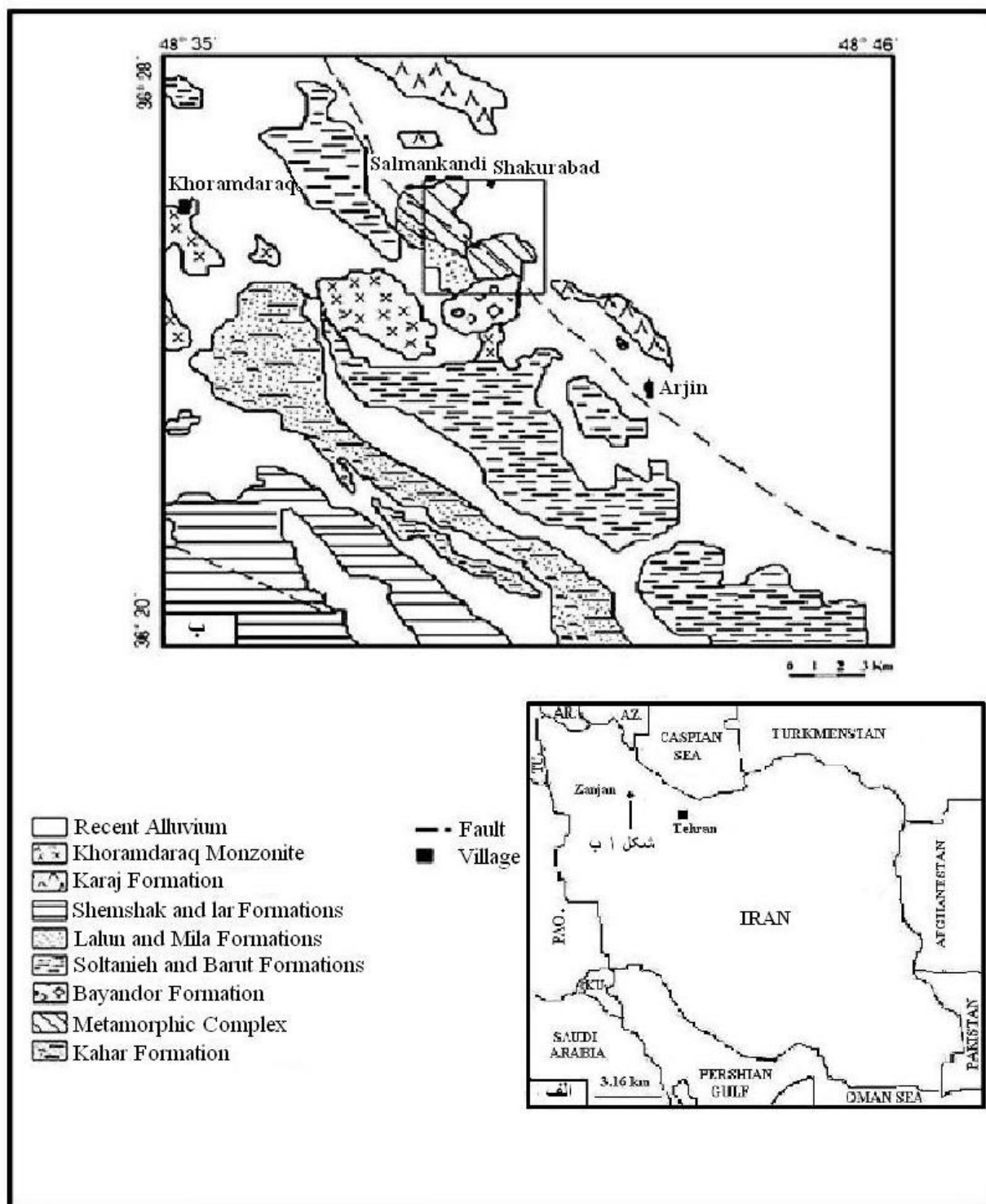
موقعیت زمین شنا سی

در جنوب غربی زنجان و نزدیک به روستای شکورآباد مجموعه ای از سنگ های دگرگون با روند شمال غربی - جنوب شرقی رخمنون دارند (شکل های ۱ الف و ۱ ب). این مجموعه از فیلیت، کلریت شیست، میکاشیست با میان لایه هایی از کوارتزیت و کوارتز شیست تشکیل شده اند. در جنوب غربی این مجموعه دگرگون، ردیفی از اسلیت های سازند کهر وجود دارند که به سمت شمال شرقی به صورت تدریجی به فیلیت و شیست های مجموعه دگرگونی تبدیل می شوند و از این رو می توان این مجموعه دگرگونی را بخشی از سازند کهر در نظر گرفت که از نظر درجه و شدت دگرگونی با هم تفاوت دارند. علاوه بر شیست های مجموعه دگرگونی و اسلیت های سازند کهر، ردیفی از رسوب های کربناتی و تخریبی (شامل سازند های بایندر، سلطانیه، باروت و لالون) نیز رخمنون دارند (شکل های ۱ ب و ۲). هورتون و همکاران [۱۱] با استفاده از بررسی های ایزوتوپی $U-Pb$ بر روی زیر کن موجود در ردیفی از سازند های کهر، بایندر، سلطانیه، باروت و لالون پیشنهاد کردند که مجموعه ای این سازند ها یک توالی کامل رسوبی است که شروع آن از نئوپروتوزوئیک بالایی تا کامبرین پایینی تداوم داشته است که این سن توسط سایر پژوهشگران نیز تأیید شده است [۱۲-۱۵]. با توجه به نتایج این پژوهش ها، در این مقاله نیز برای سازند های مشابه مشاهده شده در منطقه، سن نئوپروتوزوئیک بالایی - کامبرین پایینی پذیرفته شده است. نهشته های مزو زوئیک رخمنون یافته در منطقه مورد بررسی شامل رسوب های تخریبی سازند شمشک و سنگ آهک های سازند لار هستند (شکل های ۱ ب و ۲) [۱۰، ۹]. نهشته های ترشیری شامل دنباله های رسوب های تخریبی و سنگ های آذرآواری و آتشفسانی تشکیل می دهند که می توان آن ها را معادل سازند کرج در البرز در نظر گرفت (شکل ۲) [۱۰]. توده های مونزو گرانیتی خرم درق در جنوب غربی منطقه مورد بررسی

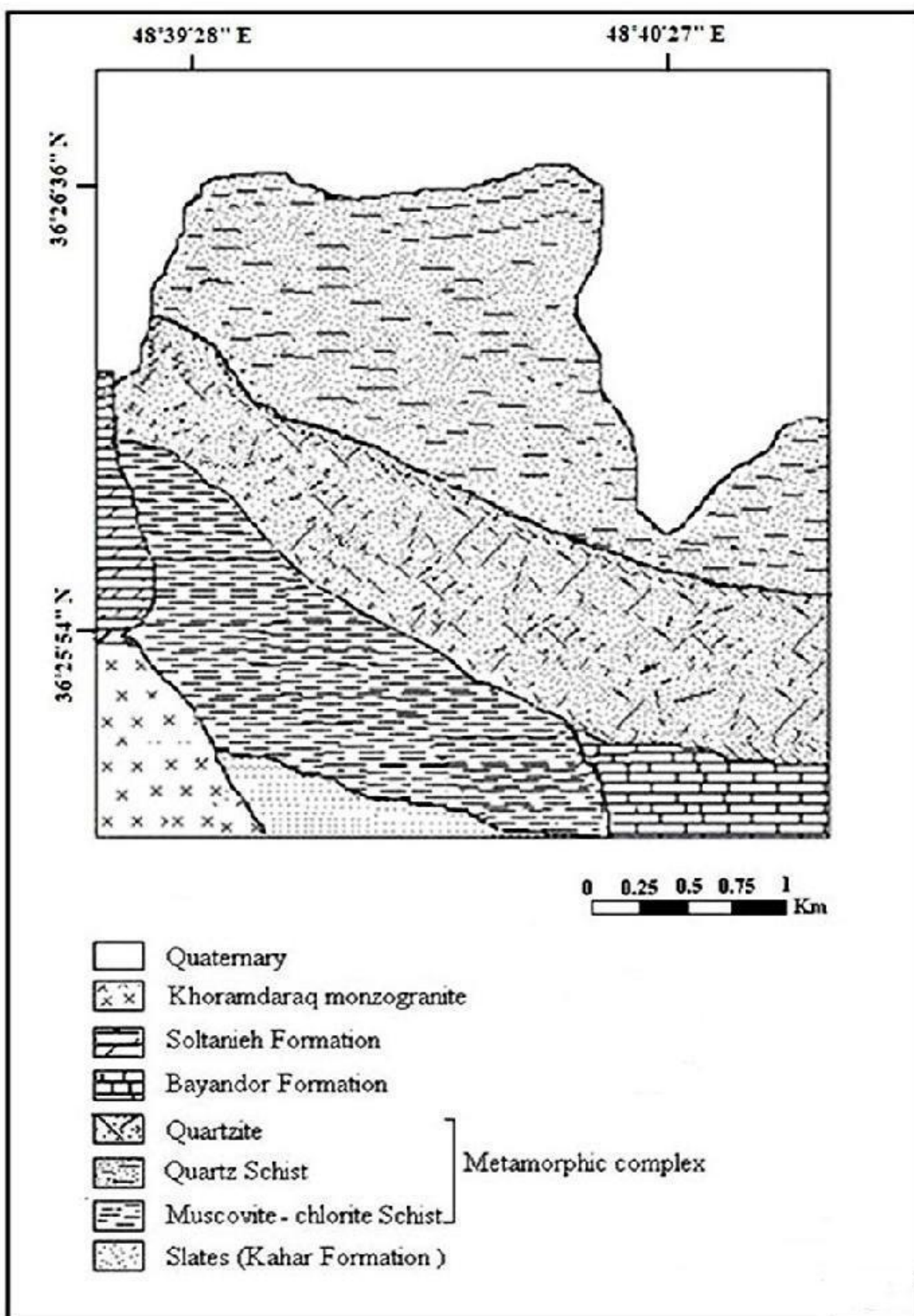
کردیریت راست گوشه دارای گروه فضایی $Cccm$ بوده و در آن توزیع Si و Al کاملاً منظم است. در کردیریت های راست گوشه، پیوندهای تصادفی Al-O-Al شکسته شده و دوباره به صورت منظم با Si در موقعیت چارچهی توزیع می شود [۱]. در کردیریت انواع ماکل های ساده، تکراری و چرخشی مشاهده می شود. ماکل چرخشی خود دارای انواع متعددی نظیر شعاعی و هم مرکز است. ماکل های چرخشی شعاعی بر اساس تعداد زوج سطوح ماکلی به انواع سه تایی، شش تایی و دوازده تایی رده بندی می شوند [۳]. در ماکل چرخشی شعاعی سه تایی، بخش های ماکل شده بلوری در سه راستای متفاوت ایجاد می شود که با یک محور چرخشی درجه ۳ که به موازات محور C می شود که با یک محور چرخشی درجه ۳ که به موازات محور C راست گوشه است. ساختار ماکل سه تایی می تواند به صورت رشد ماکلی بر روی سطوح بلور ایندیالیت اولیه [۱، ۵]. یا بر اثر تبدیل در اثر دمای بالای شش گوشه ایندیالیت به شکل دمای پایین کردیریت راست گوشه تشکیل شود [۶]. از طرف دیگر کیتامورا و یاماذا [۳] با بررسی ماکل چرخشی شعاعی سه تایی در کردیریت های موجود در هورنفلس ها نشان دادند که هر دو خاستگاه رشدی و تبدیلی می تواند باعث تشکیل ساختار سه تایی در کردیریت ها شود. کیتامورا و یاماذا [۳] بخش های با شاخص میلری (100) را به نام بخش های a، بخش های با شاخص میلری (001) به نام بخش های c و بخش های با شاخص میلری سه تایی را به نام بخش های h نام گذاری کردند که بخش های a و b بر اثر رشد بلور راست گوشه کردیریت روی سطوح اولیه بلور ایندیالیت تشکیل شده اند در حالی که بخش های c بر اثر تبدیل بلور ایندیالیت به کردیریت راست گوشه ایجاد شده اند. کیتامورا و هیروی [۷] با استفاده از میکروسکوپ الکترونی تجزیه ای، دمای تبدیل ایندیالیت با دمای بالا به کردیریت های با دمای پایین را برای محلول جامدی با ترکیب شیمیایی حد واسط $Mg-Fe$ ، پایین تر از $700^{\circ}C$ تعیین کردند در حالی که پوتنیس [۸] دمای تبدیل را برای عضو نهایی Mg در حدود $1450^{\circ}C$ به دست آورد. در بررسی شیست های نئوپروتوزوئیک بالایی - کامبرین پایینی در

حالات دگرگونی و پورفیروبلاست‌های کردیزیت شده است (شکل ۲).

رخمنون دارد که شدیداً هوازده است و نفوذ آن در شیسته‌های مجموعه‌ی دگرگونی و اسلیت‌های سازند کهر موجب تشکیل



شکل ۱ ا-موقعیت منطقه‌ی مورد بررسی در جنوب غربی زنجان واقع در شمال غربی ایران. ب- نقشه زمین‌شناسی منطقه‌ی مورد بررسی برگرفته و خلاصه شده از [۱۰،۹].



شکل ۲ نقشه‌ی سنگ شناختی منطقه‌ی مورد بررسی.

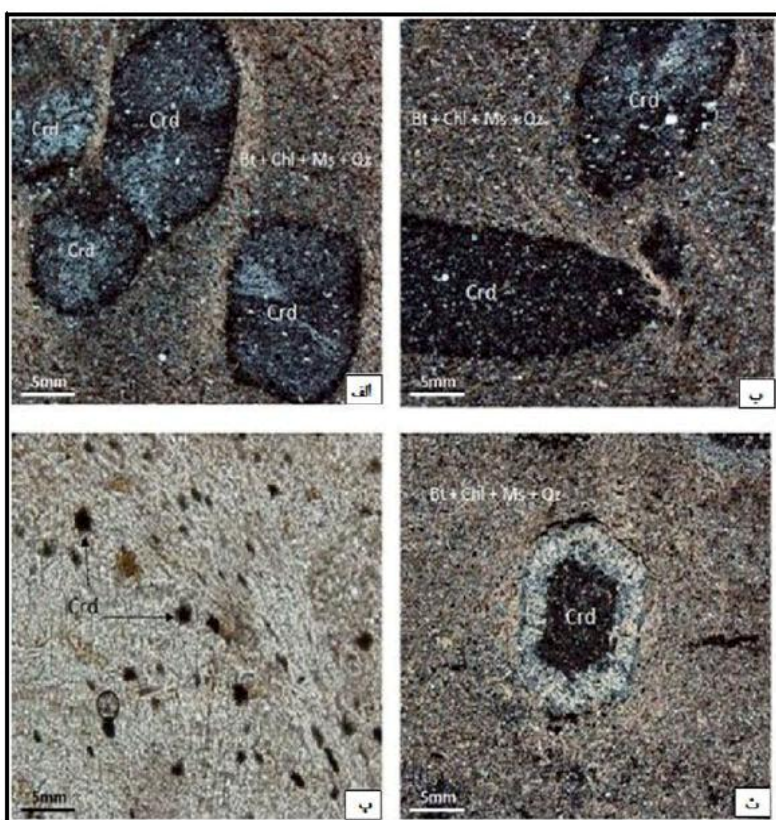
های کشیده و بیضوی (برش های موازی محور Z بلورشناسی)، فاقد ساختار ماکل می باشند (شکل های ۳ الف و ۳ ب). این دو نوع از پورفیروبلاست های کردیریت به صورت هم زیست دیده می شوند (شکل ۳ ب). کردیریت ها در بسیاری از موارد به طور گسترده ای پنیتی شده اند و این فرآیند آثار ماکل اولیه را از بین برده است (شکل ۳ ت). مرز بین بخش های تشکیل دهنده ماکل ها صاف بوده و عموماً از کانی های زمینه، نظیر موسکویت، کلریت، بیوتیت و کوارتز، پر شده اند و آثار ماکل نوری در داخل بخش ها دیده نمی شوند (شکل های ۳ الف، ۳ ب، ۳ پ و ۴). در بررسی سنگ نگاشتی با قطبش های عمود بر هم، همه بخش ها ناهمسانگرد بوده و ویژگی های نوری آن ها از جمله موقعیت خاموشی و سمتگیری های نوری، تقریباً نسبت به مرز بین ماکل ها متقارنند. در شکل ۴ با چرخش ۱۸۰ درجه ای و ساعتگرد در صفحه میکروسکوپ، موقعیت بخش های شش تایی کردیریت نشان داده شده است. در این چرخش در موقعیت ۱۲۰ درجه، بخش های $(100\bar{1})$ - $(\bar{1}00)$ خاموش اند در حالی که بخش های $(\bar{1}010)$ - $(10\bar{1}0)$ خاکستری و بخش های $(0\bar{1}10)$ - $(\bar{1}010)$ به رنگ روشن دیده می شوند. با یک چرخش تقریباً ۶۰ درجه ای و در موقعیت ۱۸۰ درجه، بخش های $(\bar{1}010)$ - $(10\bar{1}0)$ به رنگ خاکستری و بخش های $(0\bar{1}10)$ - $(\bar{1}010)$ به رنگ روشن دیده می شوند. این فرآیند در چرخش ۱۸۰ درجه ای سه بار تکرار می شود (شکل های ۴ ب و ۴ پ).

هر چند که پورفیروبلاست های شش و جهی کردیریت از شش بخش یا سه جفت بخش نوری تشکیل شده اند، اما تجزیه های شیمیابی با استفاده از ریزپردازندگی الکترونی، تفاوت شیمیابی روشنی را بین بخش ها نشان نمی دهند (جدول ۱). مقدار میانگین نسبت $(Fe/Mg+Fe+Mn)$ تمام بخش ها در حدود ۰,۳۰ است و تفاوت معنی دار آماری بین آن ها وجود ندارد. هم چنین تفاوت قابل ملاحظه ای بین ترکیب شیمیابی کردیریت های بیضوی فاقد ماکل و کردیریت های شش و جهی دارای ماکل وجود ندارد (جدول ۱).

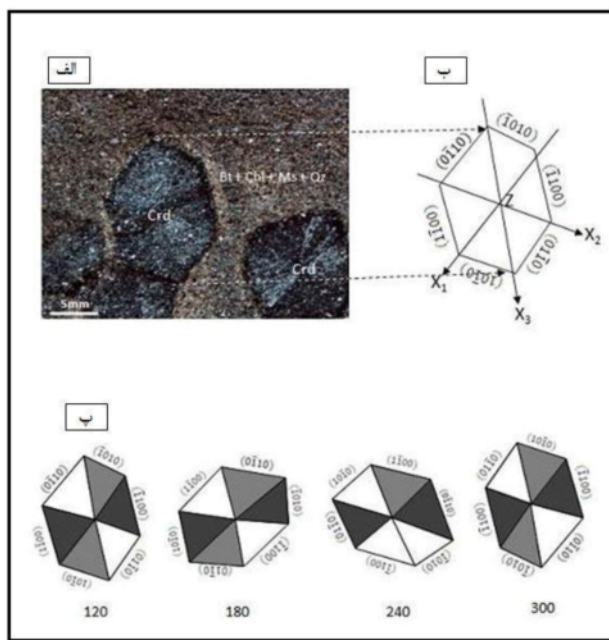
روش بررسی

در این پژوهش، روش بررسی شامل نمونه برداری هدفمند از شیسته های نئوپروروژوئیک بالایی - کامبرین پایینی در فاصله های مشخص نسبت به توده نفوذی مونزو گرانیتی خرمدرق، تهیه مقاطع نازک از نمونه های حاوی پورفیروبلاست های قابل مشاهده در نمونه دستی، بررسی های دقیق سنگ نگاری و خصوصیات نوری و در نهایت تجزیه نقطه ای کردیریت و سایر کانی های دیگر به وسیله ریزپردازندگی الکترونی در مرکز تحقیقات فرآوری مواد معدنی ایران بوده است. دستگاه ریزپردازندگی الکترونی از نوع Cameca SX 100 بوده و تجزیه کانی ها در شرایط ولتاژ شتاب دهنده ۱۵ کیلوولت، شدت جریان ۱۰ نانو آمپر و در بازه زمانی ۱۰ ثانیه انجام گرفته است.

سنگ نگاری، ویژگی های نوری و ترکیب شیمیابی کردیریت مهم ترین سنگ های دگرگون منطقه ای مورد بررسی را شیسته های با خاستگاه پلیتی (کلریت شیست، موسکویت کلریت، بیوتیت شیست)، کوارتز شیست و کوارتزیت تشکیل می دهند (شکل ۲). شیسته های پلیتی بیشتر از بیوتیت، موسکویت، کلریت و کوارتز تشکیل شده اند (شکل های ۳ الف، ۳ ب و ۳ پ). فراوانی کانی های صفحه ای سبب شکل گیری بافت پلی دوبلاستیک شده است. پورفیروبلاست های کردیریت به صورت بلورهای پسا زمین ساختی و بر اثر دگرگونی مجاورتی تشکیل شده اند. عدم چرخش بافت خارجی در پیرامون آن ها، توزیع تصادفی نسبت به شیستوزیتهای خارجی، عدم وجود حاشیه ای فشارشی و عبور شیستوزیتهای خارجی بدون تغییر از درون پورفیروبلاست های کردیریت از دلایل تشکیل پسا زمین ساختی آن هاست (شکل های ۳ الف و ۳ ب). پورفیروبلاست های کردیریت دارای میانباره ای فراوانی از بیوتیت، کلریت، موسکویت و کوارتزند. در نقاط دور از توده مونزو گرانیتی خرمدرق، کردیریت نخست به صورت ماکل های شبح مانند ظاهر شده و با کاهش فاصله، اندازه ای آن ها بزرگتر و ساختار ماکل در آن ها ظاهر می شوند (شکل ۳ پ). کردیریت های شش و جهی (برش های عمود بر محور Z بلورشناسی)، ماکل شعاعی شش تایی را نشان می دهند در حالی که پورفیروبلاست



شکل ۳ الف- پورفیروبلاست‌های شش‌وجهی کردیریت با ماکل چرخشی شعاعی شش‌تایی. ب- پورفیروبلاست‌های شش‌وجهی و بیضوی کردیریت که پس از زمین‌ساختی تشکیل شده‌اند. ب- پورفیروبلاست‌های ریز دانه کردیریت در فواصل دور از توده‌ی مونزوگرانیتی خرم‌درق. ت- پورفیروبلاست کردیریت با تبدیل شدگی گسترده به پنیت.



شکل ۴ الف- پورفیروبلاست‌های شش‌وجهی کردیریت با ماکل چرخشی شعاعی شش‌تایی که عمود بر محور درجه شش چرخشی منطبق بر Z محور بلورشناسی برش خورده است. ب- ترسیم کردیریت مشاهده شده همراه با سمتگیری‌های بلورشناسی و شاخص‌های میلری سطوح. پ- ترسیم چرخش ۱۸۰ درجه‌ای پورفیروبلاست کردیریت با زوایای ۶۰ درجه با شروع از موقعیت ۱۲۰ درجه.

جدول ۱ نتایج تجزیه‌ی ریز پردازشی کردیریت. فرمول شیمیایی کردیریت بر اساس ۱۸ اکسیزن محاسبه شده است. جدایش اهن دو و سه طرفیتی به روش تعادل با صورت گرفته و اهن کل به صورت FeO محاسبه شده است.

Miller Ind.	کردیریت شش‌وجهی						کردیریت بیضوی		
	10\bar{1}0	\bar{1}010	\bar{1}100	1\bar{1}00	0\bar{1}10	01\bar{1}0	-	-	-
SiO_2	۴۶,۵۰	۴۵,۱۷	۴۵,۲۶	۴۶,۰۰	۴۶,۲۲	۴۵,۸۱	۴۷,۰۱	۴۴,۸۴	۴۶,۶۱
Al_2O_3	۳۳,۶۴	۳۲,۳۶	۳۳,۰۱	۳۱,۹۱	۳۲۲,۱۳	۳۲,۶۹	۳۴,۶۴	۳۲,۵۴	۳۱,۹۲
FeO	۹,۶۲	۱۱,۹۵	۱۲,۱۶	۱۱,۸۹	۱۱,۷۲	۱۱,۷۲	۱۰,۷۵	۱۱,۹۹	۱۱,۸۹
MgO	۴,۸۲	۵,۴۲	۴,۶۹	۴,۸۴	۴,۸۵	۵,۲۰	۳,۵۵	۵,۸۳	۵,۲۴
CaO	۰,۵۰	۰,۵۳	۰,۳۷	۰,۴۶	۰,۴۸	۰,۵۲	۰,۵۰	۰,۵۰	۰,۵۵
K_2O	۰,۶۷	۰,۸۸	۰,۵۲	۰,۷۲	۱,۳۲	۰,۸۰	۰,۴۹	۰,۷۳	۱,۴۰
Total	۹۵,۵۵	۹۶,۳۱	۹۶,۰۱	۹۵,۸۲	۷۲,۹۷	۹۶,۲۲	۹۶,۹۴	۹۶,۴۳	۹۷,۶۱
Si	۱,۶۶	۱,۶۳	۱,۶۳	۱,۶۴	۱,۶۳	۱,۶۲	۱,۳۵	۱,۶۱	۱,۶۶
Al	۱,۴۰	۱,۳۷	۱,۴۰	۱,۳۵	۱,۳۸	۱,۳۶	۱,۴۴	۱,۳۸	۱,۳۴
Fe^{2+}	۰,۲۹	۰,۳۶	۰,۳۷	۰,۳۶	۰,۳۵	۰,۳۵	۰,۳۲	۰,۳۶	۰,۳۵
Mg	۰,۲۶	۰,۲۹	۰,۲۵	۰,۲۶	۰,۲۵	۰,۲۷	۰,۱۹	۰,۳۱	۰,۲۸
Ca	۰,۰۲	۰,۰۲	۰,۰۲	۰,۰۲	۰,۰۲	۰,۰۲	۰,۰۲	۰,۰۲	۰,۰۲
K	۰,۰۳	۰,۰۴	۰,۰۳	۰,۰۳	۰,۰۶	۰,۰۴	۰,۰۲	۰,۰۲	۰,۰۶
Total	۳,۶۶	۳,۷۱	۳,۷۰	۳,۶۶	۳,۶۹	۳,۶۶	۰,۶۴	۳,۷۰	۳,۷۱

که این فرضیه با آزمایش‌های تجربی روی کردیریت‌های منیزیم‌دار تأیید شده است [۱۶]. همچنین پوتیس و هولند [۶] پیشنهاد کردند که تبدیل نوع ایندیالیت شش‌گوشه به کردیریت راست‌گوشه موجب شکل‌گیری تنش در بلور می‌شود. که برای کاهش این تنش، ماکل‌های شعاعی ایجاد می‌شوند. در حالی که گروهی دیگر از پژوهشگران [۷] با بررسی‌های تجربی نشان دادند که تشکیل ماکل‌های شعاعی در کردیریت‌ها بهدلیل رشد بلورهای کردیریت راست‌گوشه روی سطوح ایندیالیت شش‌گوشه تشکیل شده در دماهای بالاست. اگر ماکل شعاعی شش‌تایی بر اثر تبدیل شکل ایندیالیت شش‌گوشه به کردیریت راست‌گوشه ایجاد شده باشد دو ویژگی بافتی نشان می‌دهند که عبارتند از: (۱) بر اثر تنش‌های درون بلوری ناشی از تبدیل شکل باقیستی ماکل‌های نوری درون بخشی در هر یک از بخش‌های تشکیل‌دهنده ماکل شعاعی کردیریت دیده شود و (۲) باقیستی مرز بین بخش‌های تشکیل دهنده ماکل شعاعی تداخلی باشند [۶]. در ماکل‌های مشاهده شده کردیریت، مرز بین بخش‌های تشکیل‌دهنده، صاف بوده و ساختار ماکل نوری درون بخشی نیز در آن‌ها دیده نمی‌شود و از این‌رو می‌توان نتیجه گرفت که ماکل چرخشی شعاعی شش‌تایی در کردیریت‌ها در اثر رشد دوباره‌ی کردیریت‌های راست-

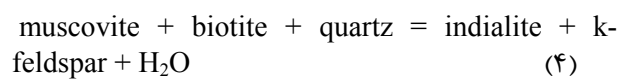
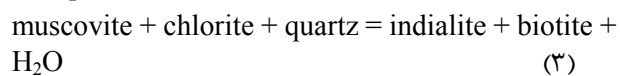
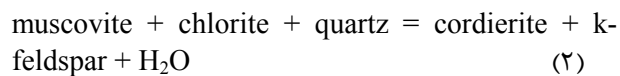
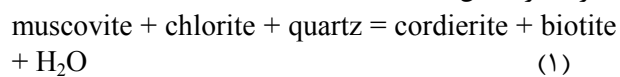
بحث و بررسی
ساختار ماکل شعاعی شش‌تایی در کردیریت‌های شش‌وجهی می‌تواند بر اساس برش عمود بر محور درجه ۶ در یک بلور شش‌گوشه‌ی دوهرمی تفسیر شود (شکل ۵). در بلورهای شش-گوشه، محور چرخشی درجه ۶ بر محور Z بلورشناسی قرار می‌گیرد و از آنجاکه در اطراف این محور سه راستای مشابه وجود دارد که با زوایای ۱۲۰ درجه از هم قرار گرفته‌اند و با علامت‌های X_3 , X_1 , X_2 , X_1 نشان داده می‌شوند، شاخص‌های میلری h k l نشان داده می‌شوند. براین اساس در یک بلور شش‌گوشه‌ی دوهرمی، برش عمود بر محور Z بلورشناسی که کاملاً از مرکز عبور می‌کند، موجب تشکیل یک شش‌وجهی می‌شود که شامل ۶ سطح با شاخص‌های میلری (1\bar{1}00), (\bar{1}100), (\bar{1}010), (0\bar{1}010), (0\bar{1}\bar{1}0) هستند (شکل ۵)، در حالی که کردیریت‌های فاقد ماکل می‌تواند بر اساس برش موازی Z بلورشناسی در یک بلور شش‌گوشه‌ی دوهرمی تشکیل شوند (شکل ۵).

به عقیده‌ی زک [۴] علت شکل‌گیری ماکل سیاه شعاعی شش‌تایی در کردیریت، تبدیل شکل دمای بالای شش‌گوشه‌ی ایندیالیت به شکل راست‌گوشه‌ی با دمای پایین کردیریت است

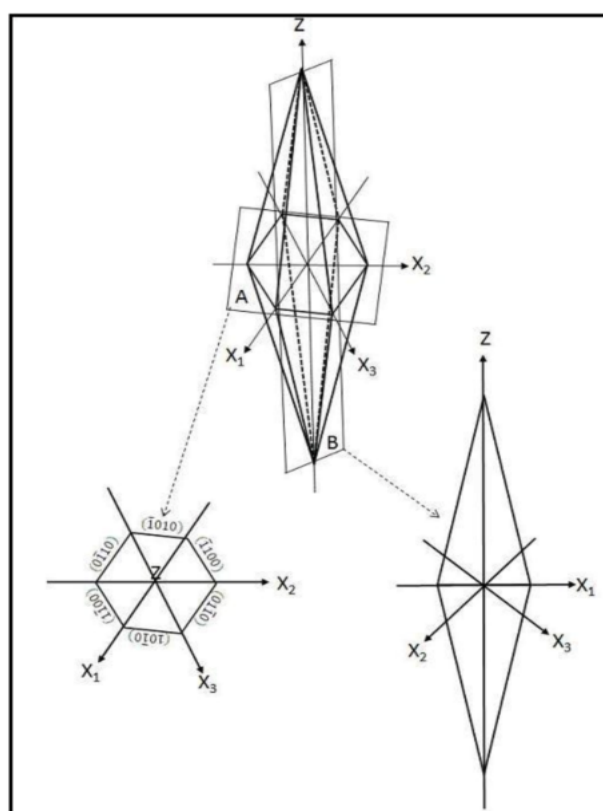
گوشه نقشی نداشتند. از طرف دیگر پورفیرو بلاستهای کردیریت حاوی میانبارهایی از موسکوویت، کلریت، بیوتیت و کوارتزند که فراوان ترین کانی‌های تشکیل دهنده‌ی شیستوزیته خارجی نیز هستند (شکل ۳) لذا می‌توان به این نتیجه رسید که تشکیل ایندیالیت اولیه بر اثر واکنش نظیر واکنش شماره‌ی ۳ صورت گرفته باشد. با فرض فشار ۵ kbar که از فشار سنجی توده‌ی نفوذی خرمدرق بر اساس ترکیب شیمیایی آمفیبول‌ها حاصل شده‌است [۱۸]، و با توجه به واکنش شماره‌ی ۳، دمای تشکیل ایندیالیت اولیه حدود 680°C به دست می‌آید. لازم به یادآوری است که دمای حاصل از واکنش شماره‌ی ۳ با فرض عضو نهایی منیزیم‌دار ایندیالیت حاوی مقادیری آهن است که سنگ‌های طبیعی، ایندیالیت حاوی مقادیری آهن است که باعث کاهش دمای تشکیل آن تا 150°C می‌شود [۶]. با توجه به اینکه کردیریت‌های مورد بررسی نیز حاوی مقادیری آهنند (جدول ۱)، لذا دمای تشکیل ایندیالیت اولیه حدود 530°C برآورد شد. با سرد شدن توده‌ی نفوذی و کاهش دما و با فرض ثابت بودن فشار، کردیریت در اثر واکنش شماره‌ی ۱ روی سطوح منشوری ایندیالیت‌های اولیه‌ی شش‌گوشه، تشکیل می‌شود (شکل ۶).

گوشه روی سطوح منشوری ایندیالیت‌های اولیه‌ی شش‌گوشه ایجاد شده‌است.

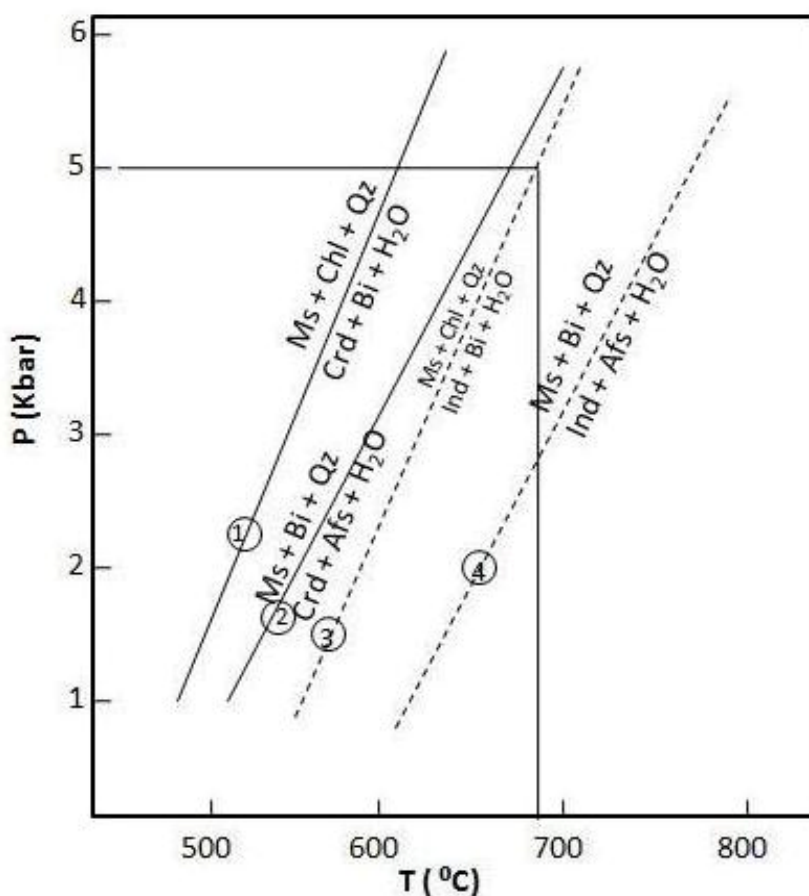
واکنش‌های اصلی که منجر به تشکیل کردیریت و ایندیالیت در سنگ‌های با خاستگاه پلیتی بر اثر دگرگونی مجاورتی می‌شوند، عبارتند از (شکل ۶) [۶] :



در شکل ۶ موقعیت فشار- دمای واکنش‌ها برای کردیریت راست‌گوشه و ایندیالیت شش‌گوشه ترسیم شده‌اند که نشان می‌دهد شکل بی‌نظم شش‌گوشه ایندیالیت در دمای بالاتری ایجاد می‌شود [۶]. با توجه به اینکه در مجموعه‌ی کانی‌ای شیسته‌ای مورد بررسی، فلدسپار پتاسیم (واکنش‌های ۲ و ۴) در واکنش‌های دارای فلدسپار پتاسیم (واکنش‌های ۱ و ۳) در تشکیل ایندیالیت اولیه و نیز رشد دوباره کردیریت‌های راست



شکل ۵ الف- برش عمود بر محور درجه‌ی شش منطبق بر محور Z بلورشناسی. ب- برش موازی محور درجه‌ی شش چرخشی (محور Z بلورشناسی) در برگیرنده‌ی محور X1.



شکل ۶ منحنی‌های فشار- دمای تشکیل کردیریت و ایندیالیت [۶]. علامت‌های اختصاری کانی‌ها از مرجع [۱۹] برگرفته شده‌اند.

برداشت

دارای سرستی‌های نوری یکسانی هستند.
۴- مرز صاف بین بخش‌های نوری و عدم وجود ماکلهای درون‌بخشی نشان می‌دهد که کردیریت راست‌گوشه‌ی دمای پایین روی سطوح منشوری ایندیالیت شش‌گوشه‌ی اولیه ایجاد شده‌است.

قدرتانی

این مقاله بخشی از نتایج پایان‌نامه‌ی کارشناسی ارشد نویسنده-ی اول مقاله است که با حمایت معاونت آموزشی و تحصیلات تکمیلی دانشگاه زنجان انجام گرفت که سپاسگزاری می‌شود. همچنین نویسنده‌ی مسئول به سبب حمایت مالی معاونت پژوهشی دانشگاه زنجان از طریق پژوهانه کمال تشکر را دارد.

مراجع

[1] Putnis A., *Introduction to mineral sciences*, Cambridge University Press, U.K (1992) 478 p.

۱- برای نخستین بار کردیریت با ساختار ماکل چرخشی شعاعی ششتایی در شیسته‌های نثپرتوزوئیک بالایی- کامبرین پایینی در جنوب‌غربی زنجان یافت شدند که بر اثر نفوذ توده‌ی مونزوگرانیتی خرمدق درون این شیسته‌ها تشکیل شده‌اند.

۲- کردیریت‌های شش‌وجهی از شش بخش یا سه زوج‌بخش نوری ناهمسانگرد تشکیل شده‌اند که ویژگی‌های نوری آن‌ها از قبیل موقعیت خاموشی و سمتگیری‌های نوری نسبت به مرز بین ماکل‌ها تقریباً متقاضانند.

۳- ساختار ماکل چرخشی شعاعی ششتایی مشاهده شده در کردیریت‌های شش‌وجهی می‌تواند بر اساس برش عمود بر محور درجه‌ی شش چرخشی یک بلور شش‌گوش دوهرمی تفسیر شود که در آن سطوح با شاخص‌های میلری $(1\bar{1}00) - (\bar{1}100), (10\bar{1}0) - (\bar{1}010), (01\bar{1}0) - (0\bar{1}10)$

- [11] Horton B. K., Hassanzadeh J., Stockli D. F., Axen G. T., Gillis R. T., Grove M., "Detrital zircon provenance of Neoproterozoic to Cenozoic deposits in Iran: Implication for chronostratigraphy and collisional tectonics", *Tectonophysics*, 451(2008) 97- 1222.
- [12] Stocklin J., *Structural history and tectonics of Iran a review*, American Association of Petroleum Geologists Bulletin 52 (1968) 1229- 1258.
- [13] Samani B. A., Zhuyi C., Xueto G., Chuan T., *Geology of Precambrian in central Iran: On the context of stratigraphy, magmatism and metamorphism*, *Geosciences Quarterly* 3(1994) 40- 63.
- [14] Alavi M., *Tectonostratigraphic synthesis and structural style of the Alborz mountain system in northern Iran*, *Journal of Geodynamics* 21 (1996) 1- 33.
- [15] Berberian M., King G. C. P., *Towards a paleogeography and tectonic evolution of Iran*, Canadian Journal of Earth Sciences 18 (1981) 210- 265.
- [16] Schreyer W., Yoder H. S., *The system Mg-cordierite- H₂O and related rocks*, *Neues Jahrb Mineral Abh* 3 (1964) 271- 342.
- [17] Armbruster T., *Role of Na in the structure of low- cordierite: a single crystal study*, *American Mineralogist* 71 (1986) 746- 757.
- [۱۸] اشرفی ا., "مطالعه پتروگرافی و ترمودینامیکی سنگ های دگرگونی ناحیه شکور اباد واقع در غرب- جنوب غرب سلطانیه، پایان نامه کارشناسی ارشد دانشگاه زنجان (۱۳۹۱)، ص ۱۲۲.
- [19] Whitney D. L., Evans B. W., *Abbreviations for names of rock- forming minerals*, *American Mineralogist* 95 (2010) 185- 187.
- [2] Deer W. A., Howie R. A., Zussman J., *An introduction to the rock- forming minerals*, Longman Scientific and Technical (1992) 696 p.
- [3] Kitamura M., Yamada H., *Origin of sector trilling in cordierite in Diamonji hornfels, kyoto, Japan*, *Contributions to Mineralogy and Petrology* 97 (1987) 1- 6.
- [4] Zeck H. P., *Transformation trilling in cordierite*, *Journal of Petrology* 13 (1972) 367- 380.
- [5] Strunz H., Tennyson C. H., Uebel P. J., *Cordierite, morphology, physical properties, structure, inclusions, and oriented intergrowth*, Minerals Science and Engineering, Cottesloe, South Africa (1971) 3- 8.
- [6] Putnis A., Holland T. J. B., *Sector trilling in cordierite and equilibrium overstepping in metamorphism*, *Contributions to Mineralogy and Petrology* 9 (1986) 265- 72.
- [7] Kitamura M., Hiroi Y., *Indialite from Unazuki pelitic schists, Japan, and its transition texture to cordierite*, *Contributions to Mineralogy and Petrology* 80 (1982) 110- 116.
- [8] Putnis A., *The distortion index in anhydrous Mg- cordierite*, *Contributions to Mineralogy and Petrology* 74 (1980) 135- 141.
- [۹] باباخانی ا., صادقی ا., "نقشه‌ی زمین‌شناسی زنجان (۱:۱۰۰۰۰۰)", انتشارات سازمان زمین‌شناسی کشور، (۱۳۸۳).
- [10] Stocklin J., Eftekharnezhad J., *Explanatory text of the Zanjan Quadrangle map 1:250000*, (1969).